

# LANCÉ

Servicio Clima Espacial

# Reporte Semanal

<http://www.sciesmex.unam.mx>



**AEM**  
AGENCIA ESPACIAL MEXICANA



**CENAPRED**  
CENTRO NACIONAL DE  
PREVENCIÓN DE DESASTRES

## CONDICIONES DEL SOL

Regiones activas: 0

Hoyos coronales: 7, de los cuales, los de mayor extensión se localizan sobre los polos.

Eyecciones de masa coronal: 1, la cual fue lenta y no se desplaza con dirección Sol-Tierra.

## CONDICIONES DEL MEDIO INTERPLANETARIO

Se registró una región de compresión que generó una tormenta geomagnética  $K_p=5$  y  $Dst=-56$  nT.

## CONDICIONES DE MAGNETÓSFERA

Índice K local: Se registró una tormenta geomagnética clase G1 ( $K=5$ ) durante la semana provocada por una región de compresión en el viento solar.

Índice Dst: Se registró actividad geomagnética moderada.

## CONDICIONES DE LA IONOSFERA

No se registraron perturbaciones ionosféricas durante la semana.

## PRONÓSTICOS

### Viento solar:

- Se pronostica la posible llegada de corrientes de viento solar promedio con velocidades de aproximadamente 350 km/s a 500 km/s.

### Fulguraciones solares:

- Debido a que no se observa ninguna región activa, es poco probable que se generen fulguraciones mayores a clase B la próxima semana.

### Tormentas ionosféricas:

- No se esperan perturbaciones ionosféricas significativas para la próxima semana.

### Tormentas geomagnéticas:

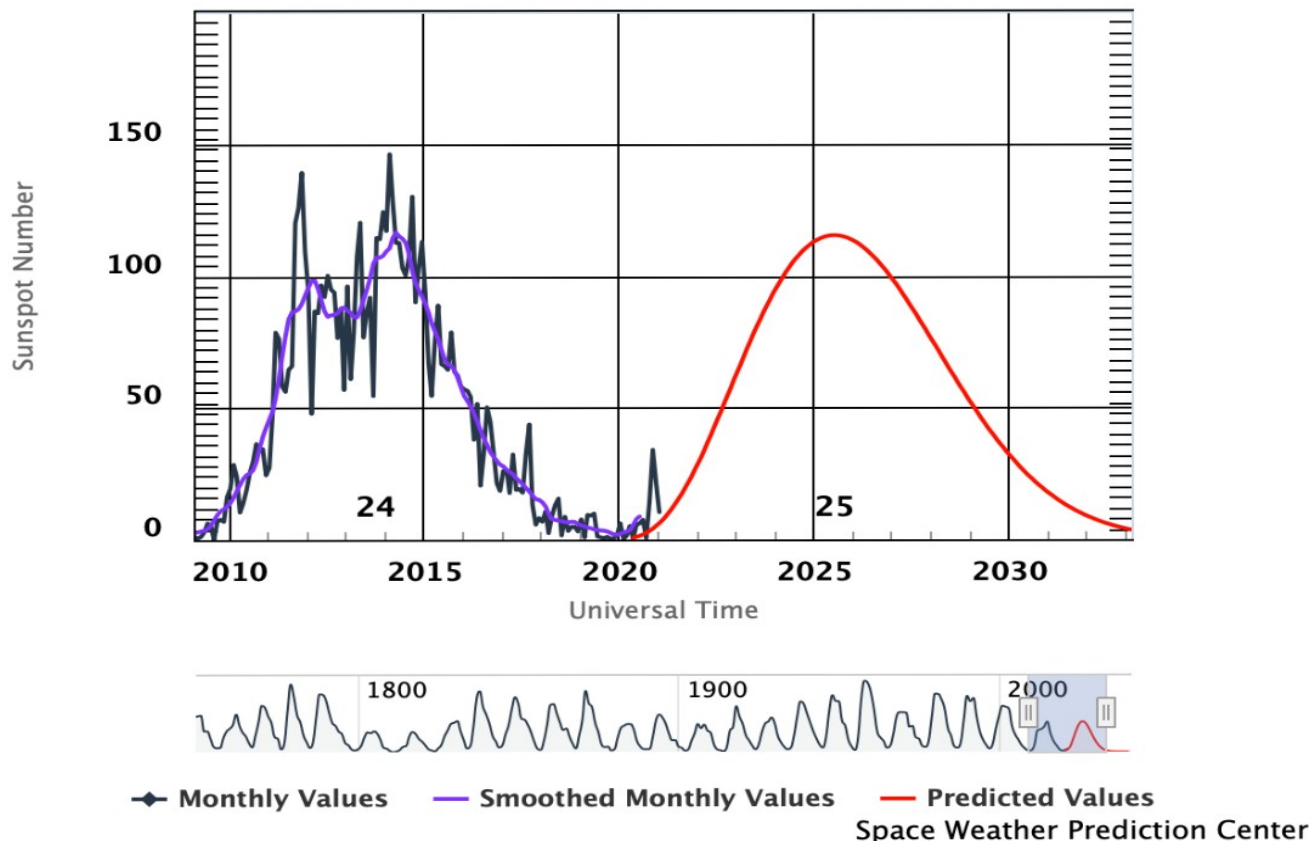
- No se pronostican tormentas geomagnéticas significativas.

### Tormentas de radiación solar:

- No se esperan tormentas significativas para la próxima semana.

# Ciclo de manchas solares y la actividad solar

ISES Solar Cycle Sunspot Number Progression



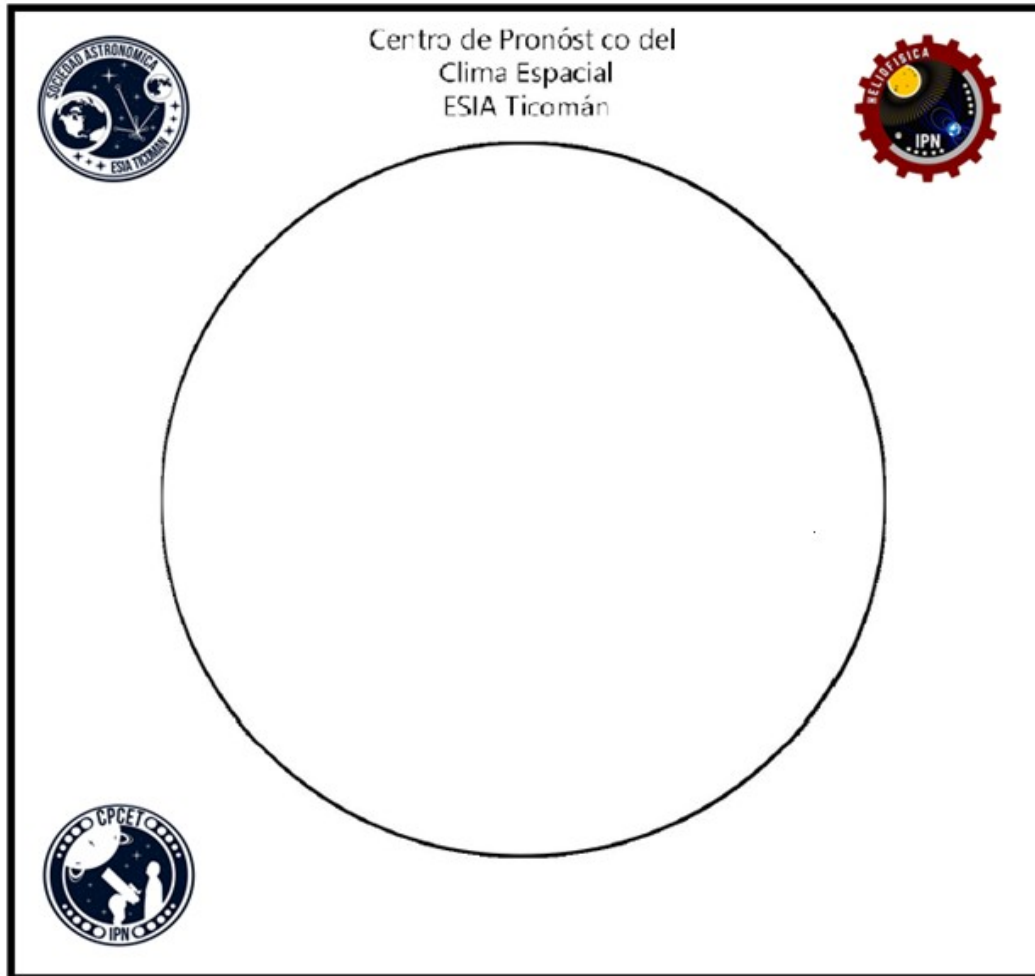
La figura muestra el conteo del número de manchas solares desde enero del 2008.

Entre más manchas solares presente el Sol, es mayor la posibilidad de que ocurra una tormenta solar.

Estamos en el inicio del ciclo solar 25. Sin embargo ya se ha mostrado cierta actividad en semanas anteriores.

<http://www.swpc.noaa.gov/products/solar-cycle-progression>

# Ciclo de manchas solares y la actividad solar



El número de Wolf es un valor que permite evaluar numéricamente la actividad solar mediante el conteo de manchas solares ubicadas sobre la superficie del Sol. Este se calcula a partir de la fórmula desarrollada por Rudolf Wolf en 1849:

$$W=k(10 \square G+F)$$

Donde:

**K=** Es un factor de corrección que depende de cada observatorio.

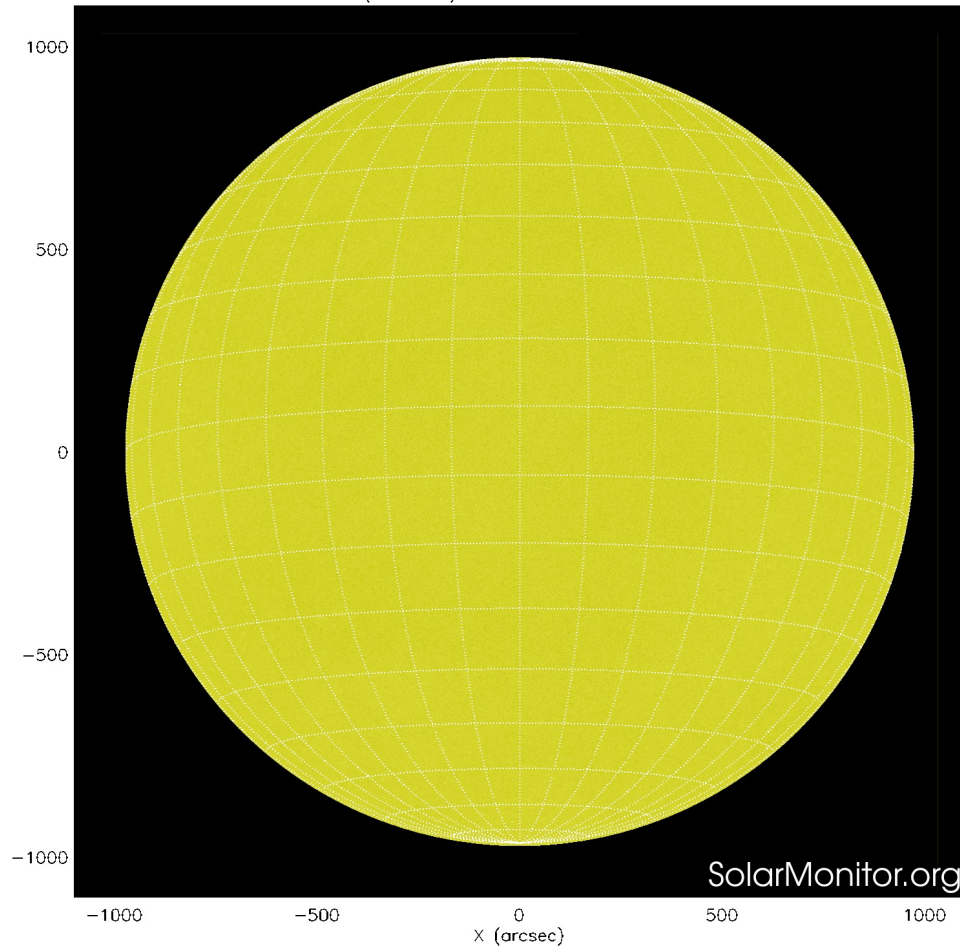
**F=** Cantidad total de manchas solares visibles sobre el disco solar.

**G=** Cantidad de grupos manchas solares visibles sobre el disco solar.

Número de Wolf máximo esta semana: **12**

Durante este semana no se observaron regiones activas en la superficie del Sol.

SDO HMI (6173 Å) 11-Feb-2021 15:34:31.500



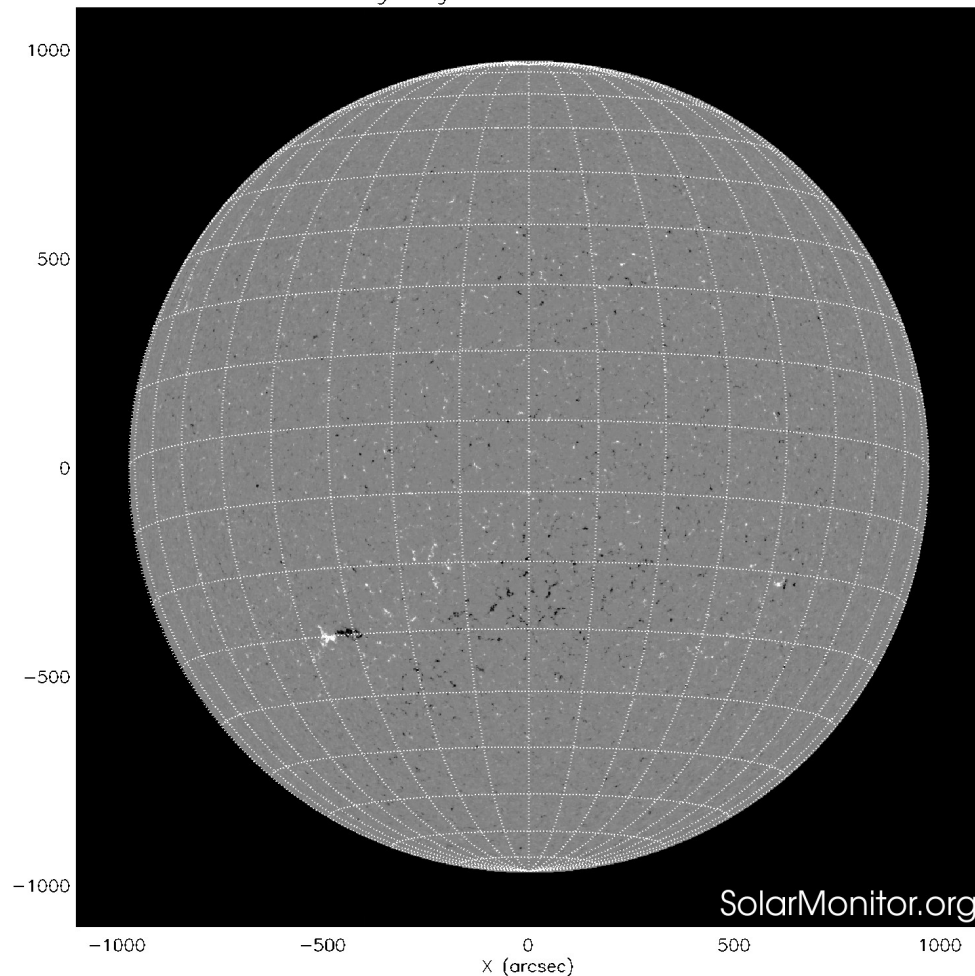
La fotosfera es la zona “superficial” del Sol, donde aparecen las manchas solares. Regiones oscuras formadas por material más frío que sus alrededores y que contienen intensos campos magnéticos. Las manchas solares están relacionadas con la actividad solar.

El Sol al 11 de febrero de 2021:

En la imagen reciente de la fotosfera no se observa ninguna mancha solar.

<https://www.solarmonitor.org/index.php>

SDO HMI Magnetogram 11-Feb-2021 14:58:31.500



Un magnetograma solar permite identificar las regiones de intensos campos magnéticos solares. En general, estos campos magnéticos están asociados a manchas solares.

Las regiones de color blanco (negro) son zonas por donde salen (entran) líneas de campo magnético, correspondientes a polaridad positiva (negativa).

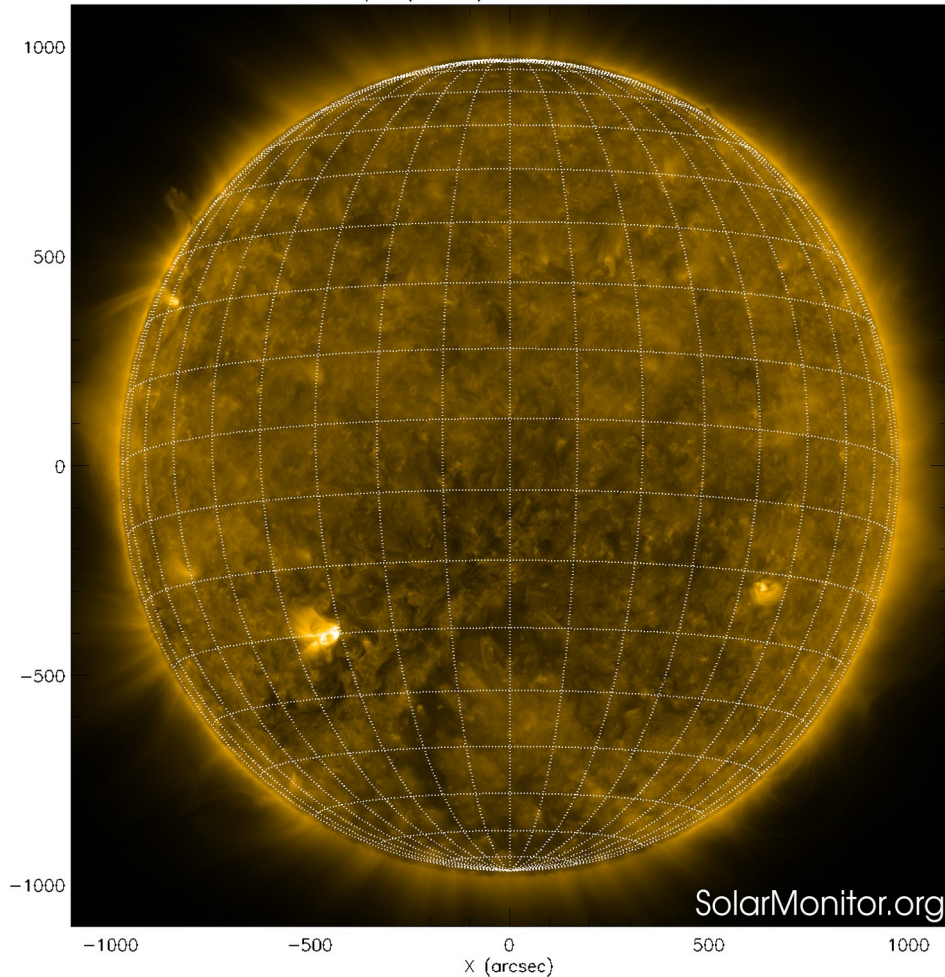
El Sol al 11 de febrero de 2021:

El magnetograma actual no muestra regiones dipolares bien estructuradas.

<https://www.solarmonitor.org/index.php>

# Atmósfera solar y regiones activas

SDO AIA Fe IX/X (171 Å) 11-Feb-2021 16:24:45.350



El Sol en rayos X suaves (171 Å). La emisión de Fe IX y X revela la estructura magnética en la región de la atmósfera solar llamada corona solar que se encuentra a 630,000 K.

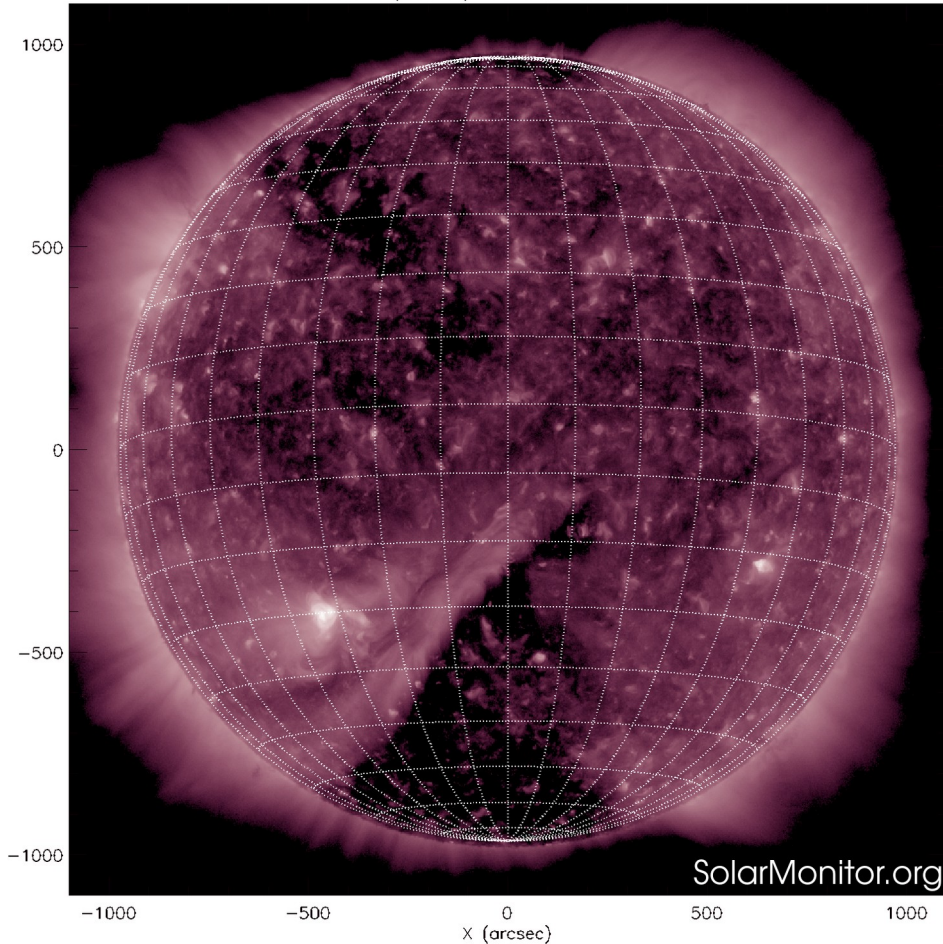
Las regiones activas (zonas claras) son los lugares donde se presentan los fenómenos de actividad solar más importantes. Las regiones activas están regularmente asociadas a las manchas solares.

El Sol al 11 de febrero de 2021:

Al día de hoy no se observan regiones activas que puedan tener actividad importante los próximos días.

<https://www.solarmonitor.org/index.php>

SDO AIA Fe XII (211 Å) 11-Feb-2021 16:28:45.630



El Sol en rayos X suaves (211 Å). La emisión de Fe XIV revela la estructura magnética en la alta corona que se encuentra a 2,000,000 K.

Los hoyos coronales (regiones oscuras) son regiones de campo magnético solar localmente abierto. Los hoyos coronales son fuente de las corrientes de viento solar rápido.

El Sol al 11 de febrero de 2021:

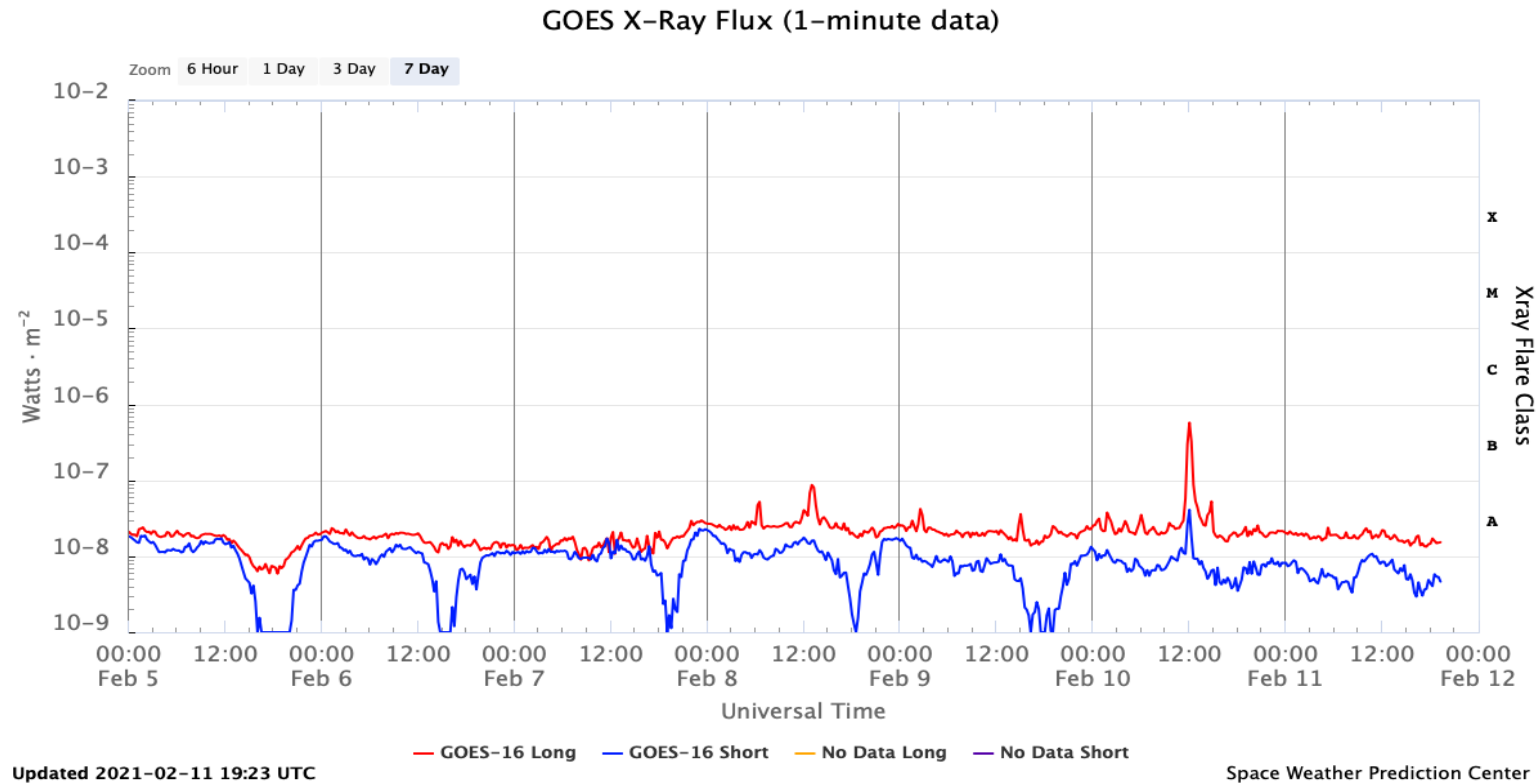
Se observan varios hoyos coronales, de los cuales el de mayor extensión se encuentra en el polo sur.

<https://www.solarmonitor.org/index.php>

# Actividad solar: Fulguraciones solares

Flujo de rayos X solares detectado por los satélites GOES.

Durante la semana no se registró actividad importante, por lo tanto solamente se registraron fulguraciones clase A y B.



Imágenes: <https://www.swpc.noaa.gov/products/goes-x-ray-flux>

# Eyecciones de Masa Coronal (EMCs): *observación de coronógrafos*

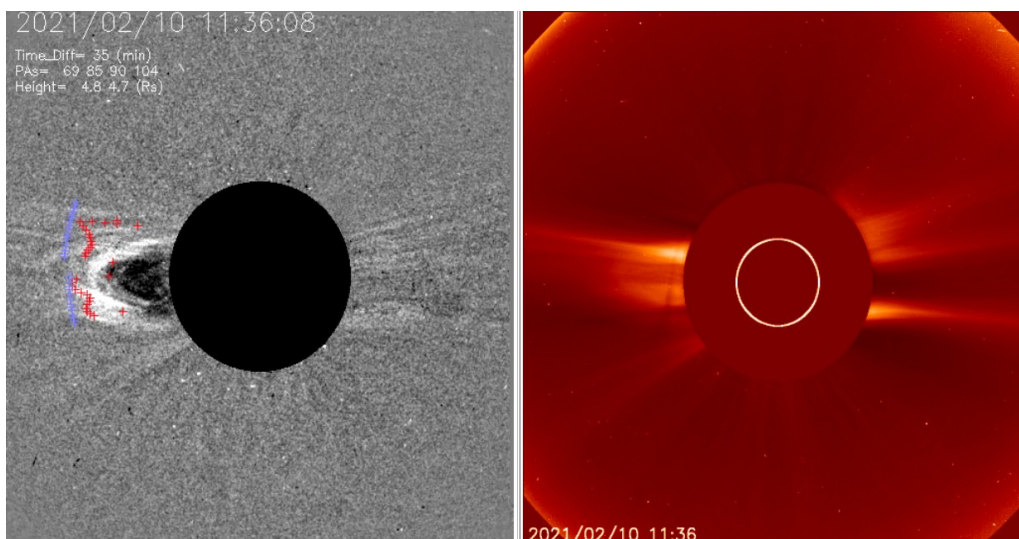
>> **Febrero 10, 4:00 h<sup>+</sup>**

- Eyección lenta observada por SOHO/LASCO C2 y C3.
- No se desplaza en la dirección Sol-Tierra.
- No se esperan repercusiones en el entorno geomagnético.

	10/02
Velocidad* (km/s)	103
Posición angular*	87°
Ancho angular*	36°

(\*)Valores estimados sobre la proyección en el plano del cielo y no en la dirección Sol-Tierra.

(+)Tiempo de inicio de la observación.



## **Relevancia**

\*Eventos eruptivos solares de gran escala que eyectan plasma y campo magnético hacia el medio interplanetario (IP).

\*Las EMC están relacionadas con las tormentas geomagnéticas de mayor intensidad y son capaces de impulsar ondas de choque que aceleran partículas en el medio IP.

Crédito imágenes y valores estimados: SEEDS – George Mason University, Space Weather Lab - ESA-NASA/SOHO, the Solar & Heliospheric Observatory

# Medio interplanetario: El viento solar cercano a la Tierra

## Modelo numérico WSA-ENLIL.

El modelo pronostica un ambiente solar terrestre dominado por corrientes de viento solar promedio con velocidades de aproximadamente 350 km/s a 500 km/s. La densidad del viento solar medido en la Tierra no presentará variaciones significativas. No se pronostica el arribo de ninguna EMC en los próximos días.

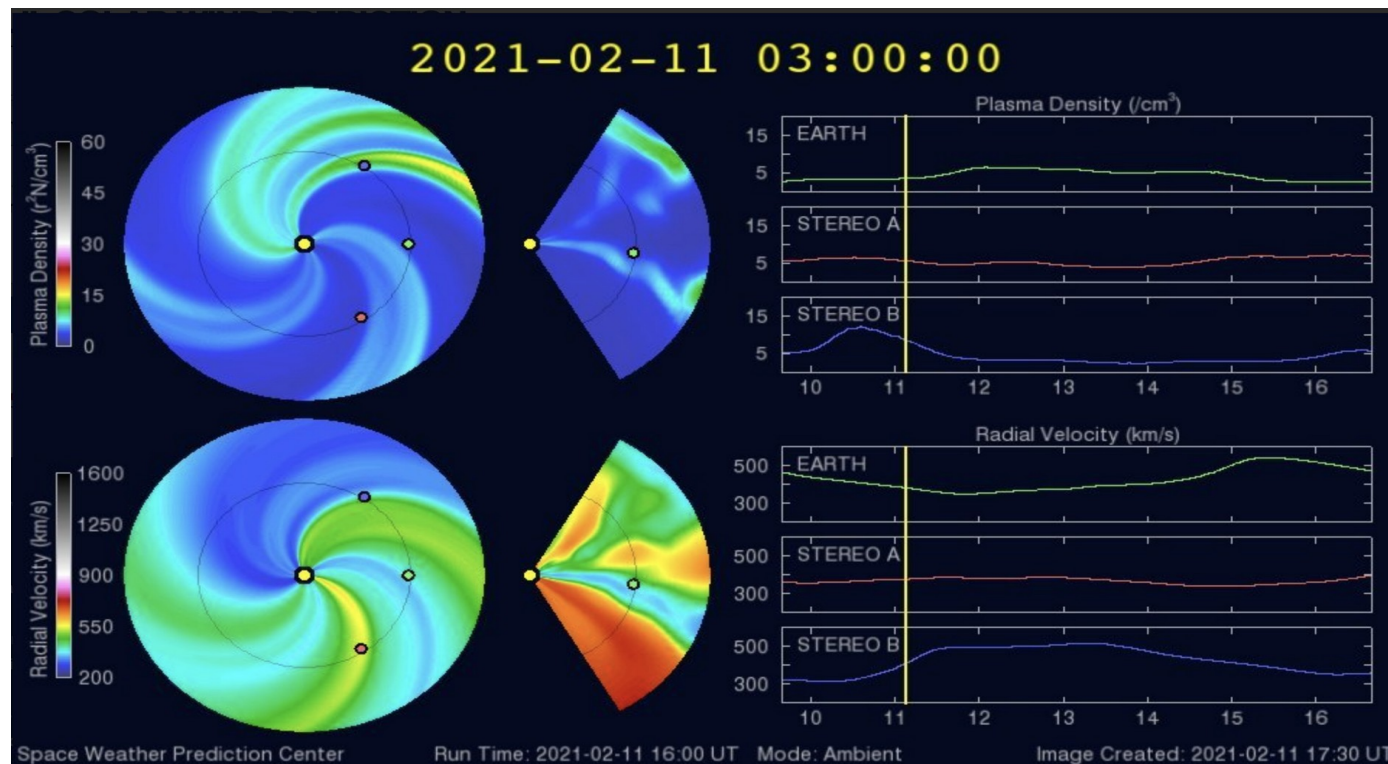


Imagen: <http://www.swpc.noaa.gov/products/wsa-enlil-solar-wind-prediction>

# Medio interplanetario: Región de interacción de viento solar

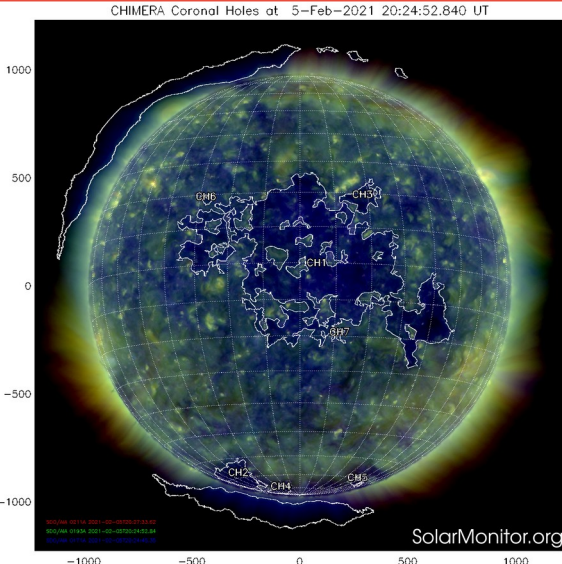


Imagen 1: <https://solarmonitor.org/chimera.php>

Esta semana se registró una región de compresión (área sombreada en imagen 3). El origen del viento solar rápido es un hoyo coronal localizado en latitudes bajas (CH1 en imagen 1). Dicha región de compresión generó una tormenta geomagnética  $K_p=5$  y  $Dst=-56$  nT. En la imagen 2 (área sombreada en amarillo) vemos la hoja de corriente heliosférica por abajo del plano de la eclíptica.

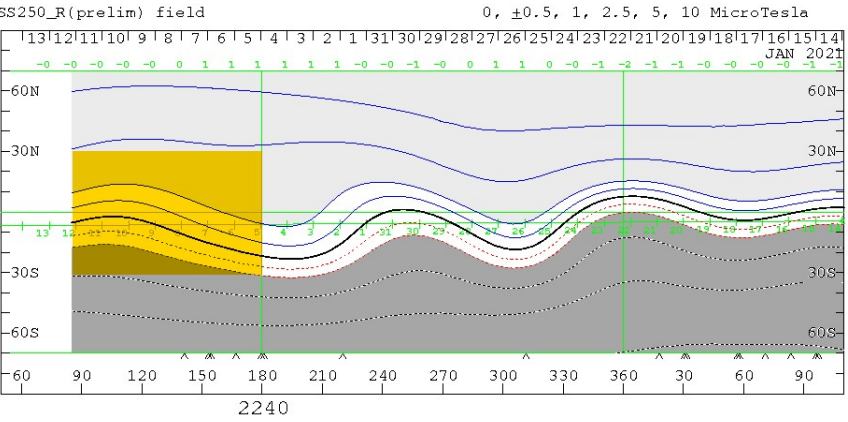


Imagen 2: <http://wso.stanford.edu/SYNOP/>

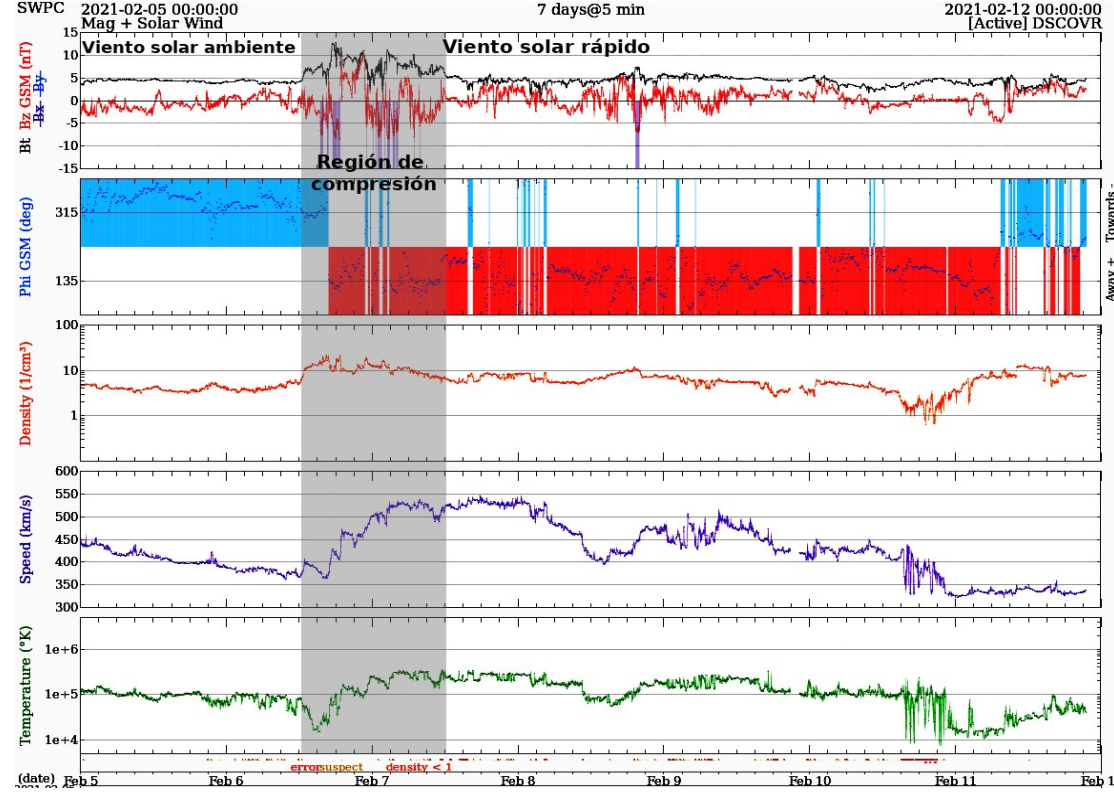


Imagen 3: <http://www.swpc.noaa.gov/products/real-time-solar-wind>

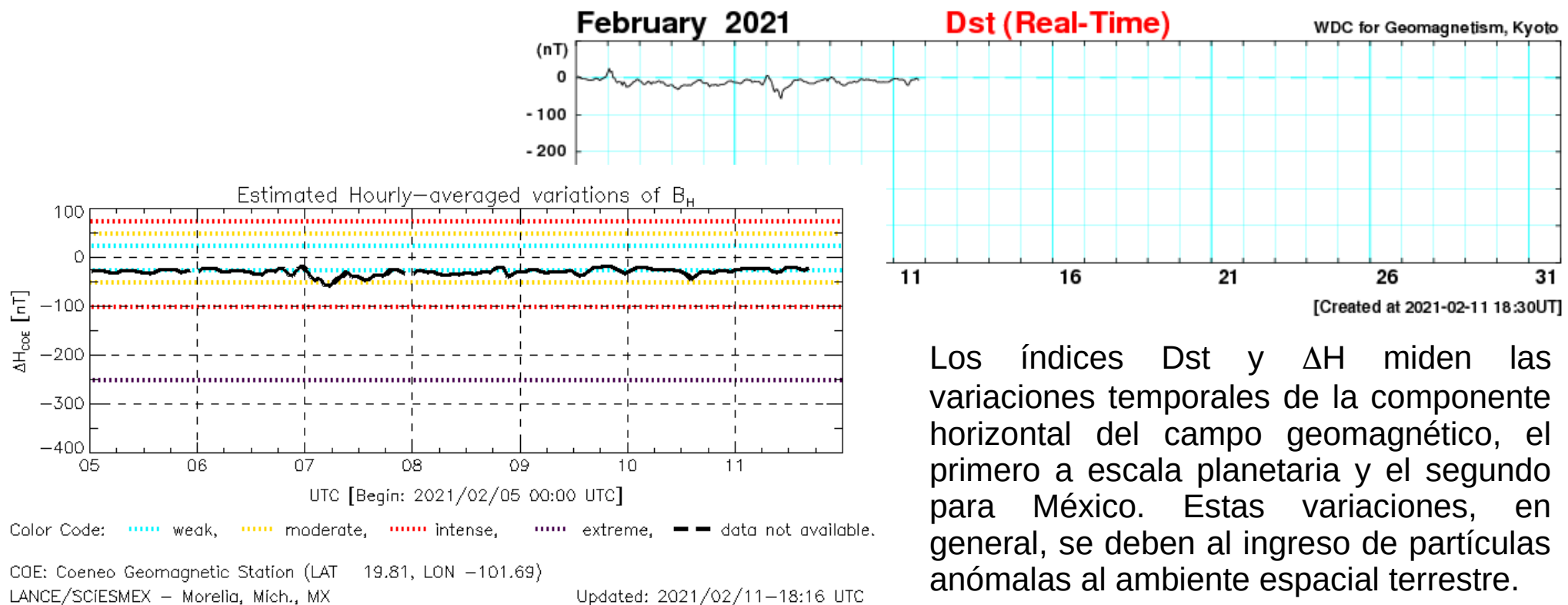


# Perturbaciones geomagnéticas: Índice Dst y $\Delta H$

Se registró actividad geomagnética moderada en los índices Dst y  $\Delta H$  a partir del 25 de enero.

NOTA: El cálculo del índice  $\Delta H$  se realiza por la estación geomagnética de Coeneo, Mich. Los datos son experimentales y no se deben de tomar como definitivos.

Imagen: [http://wdc.kugi.kyoto-u.ac.jp/dst\\_realtime/presentmonth/index.html](http://wdc.kugi.kyoto-u.ac.jp/dst_realtime/presentmonth/index.html)



Los índices Dst y  $\Delta H$  miden las variaciones temporales de la componente horizontal del campo geomagnético, el primero a escala planetaria y el segundo para México. Estas variaciones, en general, se deben al ingreso de partículas anómalas al ambiente espacial terrestre.

# Ionósfera sobre México: TEC en el centro del país (datos locales)

El contenido total de electrones (TEC) es un parámetro que sirve para caracterizar el estado de la ionosfera de la Tierra.

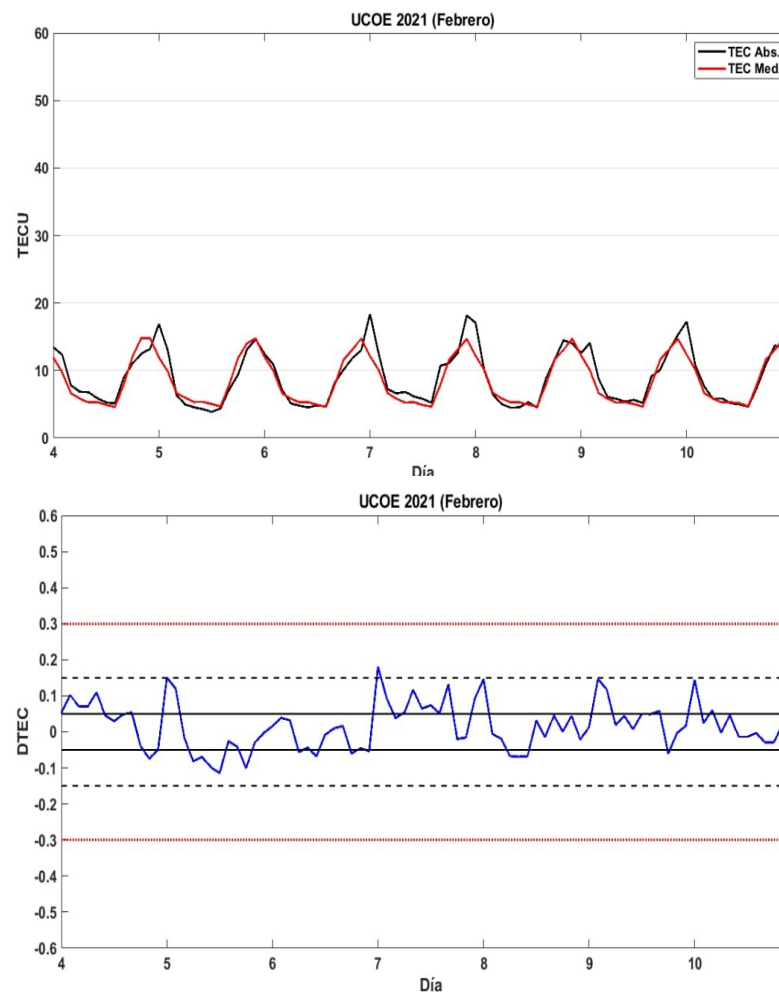
Serie temporal de los valores de TEC (negro) con referencia a su valor mediano (rojo) durante 04.02-10.02.2021 con base en los datos de la estación local UCOE (TLALOCNet, UNAVCO) en las instalaciones del MEXART.

Desviación de TEC de su mediana de los 27 días anteriores al día de observación con base en los datos de la misma estación.

Según los datos locales, no se observaron variaciones significativas del TEC.

El cálculo se realiza en base de TayAbsTEC software del Instituto de Física Solar-Terrestre, Sección Siberiana de la Academia de Ciencias de Rusia. Referencia: Yasyukevich et al., Influence of GPS/GLONASS Differential Code Biases on the Determination Accuracy of the Absolute Total Electron Content in the Ionosphere, Geomagn. and Aeron., ISSN 0016\_7932, 2015.

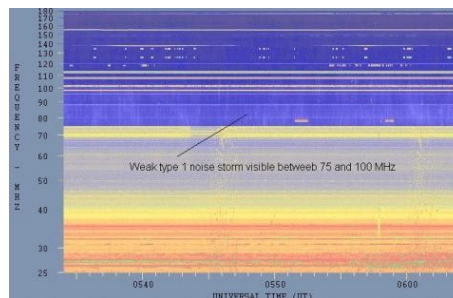
Referencia: Gulyaeva et al., GIM-TEC adaptive ionospheric weather assessment and forecast system. doi:10.1016/j.jastp.2013.06.011, 2013.



# Tipos de estallidos de radio solares

**Tipo I:** Estallidos cortos y banda de emisión estrecha. Ocurren en un gran número sobre un continuo de emisión. Duración de 1 s y en tormenta de horas a días.

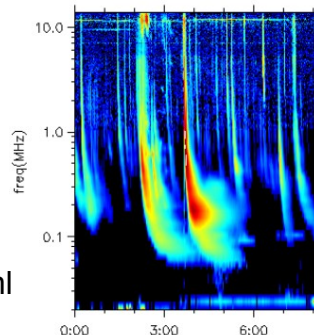
Se asocian con regiones activas, fulguraciones y protuberancias eruptivas



[spaceacademy.net.au/env/sol/solradp/solradp.htm](http://spaceacademy.net.au/env/sol/solradp/solradp.htm)

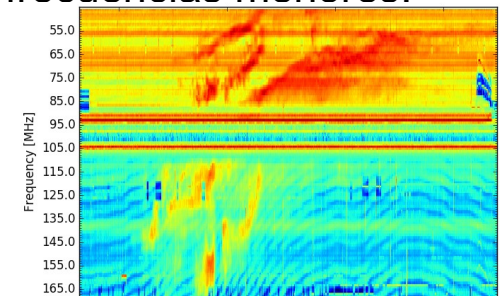
**Tipo III:** Estallidos de deriva rápida, con duración de pocos segundos en el rango métrico. Tienen anchos de emisión amplios. Son producidos en fulguraciones donde son expulsados a velocidades relativistas.

Se pueden presentar también como tormentas de estallidos.



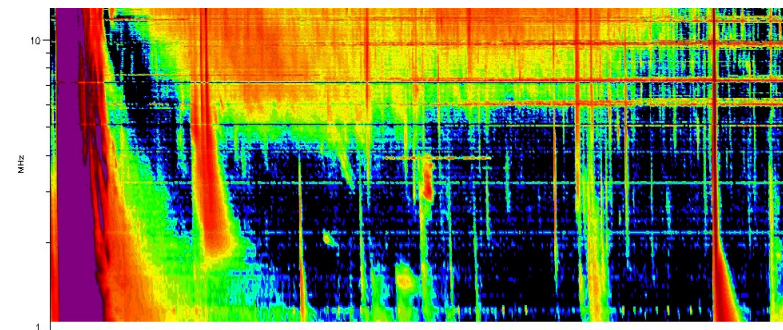
[ssed.gsfc.nasa.gov/waves/data\\_products.html](http://ssed.gsfc.nasa.gov/waves/data_products.html)

**Tipo II:** Estallidos de deriva lenta. Son la firma de ondas de choque, producidas por fulguraciones o EMCs, que se propagan cerca del Sol y medio interplanetario. Presentan anchos de de emisión estrechos que derivan a frecuencias menores.



[www.rice.unam.mx/callisto](http://www.rice.unam.mx/callisto)

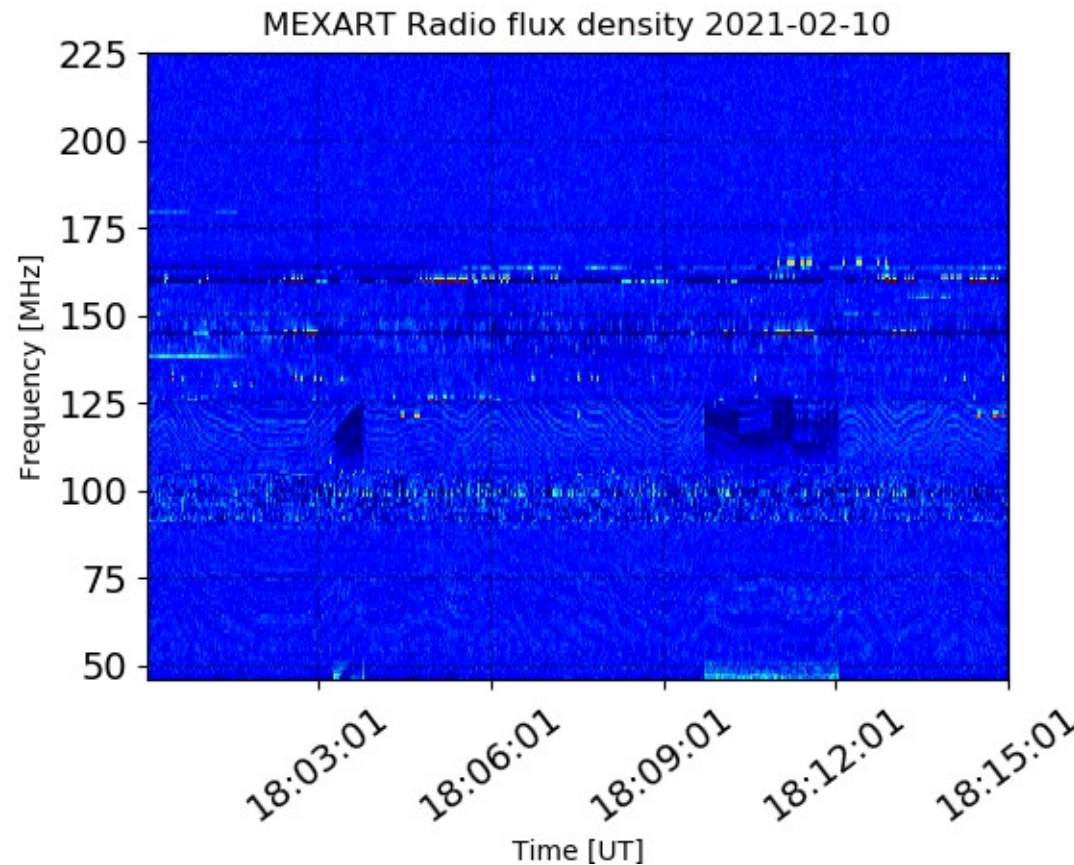
**Tipo IV:** Se relacionan con fulguraciones, tienen anchos de banda amplios y pueden durar horas.



[https://ssed.gsfc.nasa.gov/waves/data\\_products.html](https://ssed.gsfc.nasa.gov/waves/data_products.html)

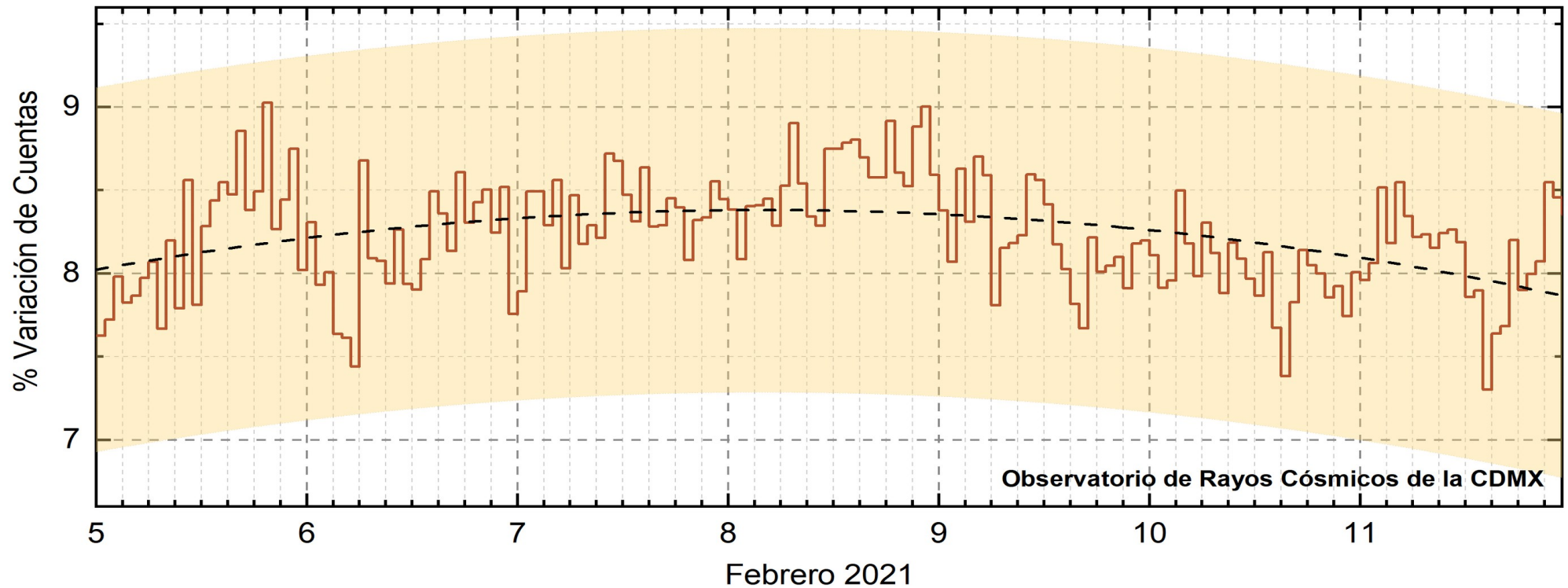
# Estallidos de radio solares: Observaciones de Callisto-MEXART

Callisto-MEXART no detectó estallidos de radio esta semana.



- <http://www.rice.unam.mx/callisto/lightcurve/2020/12>

# Rayos Cósmicos:



<http://www.cosmicrays.unam.mx/>

Datos registrados por el Observatorio de Rayos Cósmicos de la Ciudad de México. La curva discontinua negra representa el promedio de los datos registrados, el área coloreada en amarillo representa la significación de los datos ( $\pm 3\sigma$ ). Cuando se registran variaciones que salen del área, es probable que éstas sean atribuidas a efectos de emisiones solares en el flujo de rayos cósmicos.

Del 05 al 11 de febrero de 2021, no se detectaron incrementos significativos ( $>3\sigma$ ) en las cuentas de rayos cósmicos.

## **UNAM/LANCE/SCiESMEX**

Dr. J. Américo González Esparza  
Dr. Pedro Corona Romero  
Dra. Maria Sergeeva  
Dr. Julio C. Mejía Ambriz  
Dr. Luis Xavier González Méndez  
Dr. José Juan González Avilés  
Ing. Ernesto Andrade Mascote  
M.C. Pablo Villanueva Hernández  
Ing. Adan Espinosa Jiménez  
Ing. Juan Luis Godoy Hernández  
Dr. Ernesto Aguilar-Rodríguez  
Dra. Verónica Ontiveros  
Dra. Tania Oyuki Chang Martínez  
M.C. Juan José D'Aquino  
Dr. Víctor José Gatica Acevedo

## **UNAM ENES-Morelia**

Dr. Mario Rodríguez Martínez  
Dr. Víctor De la Luz Rodríguez  
Lic. Shaden Saray Hernández Anaya  
M.C. Raúl Gutiérrez Zalapa  
Rafael Zavala Molina  
Vanessa Arriaga Contreras

## **UNAM/PCT**

Lic. Elizandro Huipe Domratheva  
M.C. Víctor Hugo Méndez Bedolla  
M.C. Elsa Sánchez García

## **UANL/LANCE**

Dr. Eduardo Pérez Tijerina  
Dr. Enrique Pérez León  
Dr. Carlos de Meneses Junior  
Dra. Esmeralda Romero Hernández

## **UNAM/IGF/RAYOS CÓSMICOS**

Dr. José Francisco Valdés  
Galicia  
Fis. Alejandro Hurtado Pizano  
Ing. Octavio Musalem Clemente

## **SERVICIO MAGNÉTICO**

M.C. Esteban Hernández  
Quintero  
Dr. Gerardo Cifuentes Nava  
Dra. Ana Caccavari Garza

**Elaboración:** José Juan González Avilés

**Revisión:** Ernesto Aguilar Rodríguez

Ing. Julio Cesar Villagran Orihuela

Ing. Reynaldo Vite Sánchez

Miguel Daniel González Arias

Carlos Escamilla León

Jessica Juárez Velarde

Pablo Romero Minchaca

Eric Bañuelos Gordillo

Alfonso Iván Verduzco Torres

Katia Lisset Ibarra Sánchez

Ángel Alfonso Valdovinos Córdoba

Claudia Patricia López Martínez

## Agradecimientos

El Laboratorio Nacional de Clima Espacial (LANCE) es parcialmente financiado por: el programa Cátedras CONACYT Proyecto 1045 y el Fondo Sectorial AEM-CONACYT proyecto 2014-01-247722. Agradecemos al proyecto Conacyt – Repositorio Institucional de Clima Espacial 268273. Agradecemos al proyecto AEM-2018-01-A3-S-63804 del Fondo Sectorial CONACYT-AEM. Agradecemos a todos los responsables y colaboradores de instrumentos del LANCE y a las redes de estaciones GPS del Servicio Sismológico Nacional y TlalocNET por facilitar sus datos. Agradecemos a Gerardo Cifuentes, Esteban Hernández y Ana Caccavari por los datos del Observatorio Magnético de Teoloyucan. De igual forma, agradecemos los servicios de IGS (International GNSS Service) por permitirnos usar los datos IONEX disponibles en: <ftp://cddis.gsfc.nasa.gov/pub/gps/products/ionex>. Los valores de TEC fueron obtenidos a partir de observaciones de las redes GPS del Servicio Sismológico Nacional (SSN), SSN-TLALOCNet y TLALOCNet del Servicio de Geodesia Satelital (SGS). Agradecemos al personal del SSN y del SGS por el mantenimiento de estaciones, la adquisición de datos y el soporte de IT de estas redes. Las operaciones de la red TLALOCNet y SSN-TLALOCNet GPS han sido apoyadas por The National Science Foundation bajo el proyecto EAR-1338091 a UNAVCO Inc., los proyectos CONACyT 253760 y 256012 y los proyectos UNAM-PAPIIT IN109315-3 y IN104818-3 de E. Cabral-Cano y el proyecto UNAM-PAPIIT IN111509 de R. Pérez. De igual forma, agradecemos a los proyectos de infraestructura del CONACyT: 253691 y del PAPIIT-DGAPA: IA107116 para el fortalecimiento de equipos como la estación fija de GPS, que forman parte del LACIGE-UNAM, de la ENES unidad Morelia a cargo de M. Rodríguez-Martínez, El cálculo de TEC se realiza: 1) utilizando el software US-TEC que es un producto de operación del Space Weather Prediction Center (SWPC), desarrollado a través de una colaboración entre National Geodetic Survey, National Oceanic and Atmospheric Administration (NOAA) y el Cooperative Institute for Research in Environmental Sciences of the University of Boulder, Colorado, 2) con base en el software TayAbsTEC del Instituto de Física Solar-Terrestre, sección Siberiana de la Academia de Ciencias Rusa. Parte del procesamiento de datos se lleva a cabo dentro del centro de Supercómputo de Clima Espacial (CESCOM) del LANCE. Así mismo agradecemos al Space Weather Forecasting Center for Astrophysics & Space Research de la University of California in San Diego y al Korean Space Weather Center por los datos de pronóstico para los modelos WSA-ENLIL y los mapas tomográficos por IPS. Agradecemos a la red e-callisto por los datos proporcionados de espectros electromagnéticos dinámicos de la red internacional de registro de eventos de radio solares.